

بررسی فعالیت ضدالتهابی و آنتی‌اکسیدانی آب تهی شده از دوتربیوم و اسانس نعنا بر روی آسیب‌ریوی ناشی از CLP

آزاده رسولی^۱، فائزه فاطمی^{۲*}، محمدرضا محمدی ملایری^۳، رضا حاجی حسینی^۱، آتوسا وزیری^۱، زهرا موسوی^۴، ماریا فروتن راد^۱ و سمانه اوتدادی^۱

^۱ ایران، تهران، دانشگاه پیام نور، واحد تهران شرق، دانشکده علوم پایه، گروه زیست‌شناسی

^۲ ایران، پژوهشگاه علوم و فنون هسته‌ای، پژوهشکده مواد و سوخت هسته‌ای

^۳ ایران، گرمسار، دانشگاه آزاد اسلامی، واحد گرمسار، دانشکده دامپزشکی، گروه پاتوبیولوژی

^۴ ایران، قم، دانشگاه آزاد اسلامی، واحد قم، دانشکده علوم پایه، گروه فیزیولوژی

تاریخ دریافت: ۹۶/۹/۱۷
تاریخ پذیرش: ۹۷/۳/۲۱

چکیده

سپسیس علت عمدۀ مرگ‌ومیر بیماران در بخش مراقبت‌های ویژه است. با وجود درمان‌های حمایتی جدید و بکارگیری آنتی‌بیوتیک‌های قوی، سپسیس همچنان از جمله عوامل خطرزا در زندگی مبتلایان می‌باشد. لذا هدف از این مطالعه، بررسی تأثیر آب تهی شده از دوتربیوم (DDW) و اسانس نuna روی رت‌های سپتیکی القا شده با مدل (Cecal Ligation and Puncture (CLP) می‌باشد. از این‌رو، رت‌ها به ۷ گروه: کترول منفی (Laparotomy)، گروه‌های تیمار با DDW (۱۵ و ۲۰ ppm) و همراه با اسانس نuna (۱۰۰ mg/kg b.w.) و کترول مثبت (ایندومتانسین) تقسیم شدند. ۲۴ ساعت پس از جراحی پارامترهای دخیل در آسیب اکسیداتیو و بیان ژن COX-2 در بافت ریه اندازه‌گیری شد. نتایج این تحقیق نشان می‌دهد سپسیس موجب کاهش FRAP و GSH و افزایش میزان LP، MPO، PGE2 و بیان ژن COX-2 می‌گردد، ولی بر روی آنزیم GST اثری ندارد. تیمار حیوانات با DDW به‌نهایی و هم‌مان با اسانس نuna به‌اندازه ایندومتانسین، در تعديل سطح این پارامترها مؤثر بوده است، بطوريکه سبب افزایش میزان FRAP و GSH و کاهش میزان LP، MPO و بیان ژن COX-2 شده است. همچنین مطالعات پاتولوژی نشان می‌دهد که سپسیس منجر به ایجاد آسیب‌هایی در بافت ریه شده که این آسیب‌ها در اثر تیمار با DDW و اسانس نuna کاهش یافته‌اند. بنابراین سپسیس موجب آسیب اکسیداتیو بافت ریه شده و استفاده از این ترکیبات با تأثیر بر روی پارامترهای استرس اکسیداتیو و آنتی‌اکسیدانی می‌تواند در جلوگیری و بهبود این آسیب‌ها مؤثر باشد.

واژه‌های کلیدی: سپسیس، اسانس نuna، آب تهی شده از دوتربیوم، فعالیت ضدالتهابی، استرس اکسیداتیو

* نویسنده مسئول، تلفن: ۰۹۱۲۴۱۸۶۳۴۹، پست الکترونیکی: ffatemi@aeoi.org.ir

مقدمه

مبتلایان به بیماری‌هایی غیراز قلب و عروق بستری شده در بخش مراقبت‌های ویژه و جزء ده دلیل اصلی مرگ در میان کل بیماران بستری در بیمارستان است (۲۵). التهاب فرایندی است که توسط عوامل مختلف بیولوژیکی شروع گردیده و نه تنها مستقیماً با فعل‌سازی سیستم ایمنی بلکه سپسیس واکنش سیستمیک بدن به میکروارگانیسم‌های مهاجم از جمله باکتری‌ها و قارچ‌ها می‌باشد (۳۹) و یکی از بیماری‌هایی است که بیماران بستری در بخش مراقبت‌های ویژه ممکن است به آن مبتلا شوند (۱۸). سپسیس به عنوان یکی از علل ایجاد التهاب حاد، دومین علت شایع مرگ‌ومیر

آن‌تی‌اکسیدانی (۱۰ و ۲۶)، ضد قارچ (۴۲)، ضد باکتری (۳۳) و ضد انقباض و تشنج (۱۲ و ۳۴) می‌باشد.

از سوی دیگر، DDW یا آب سبک دارای اثرات بیولوژیکی است (۲۱) و یک مکمل درمانی سودمند محسوب می‌شود. آبی DDW است که محتوای دوتربیوم در آن در مقایسه با استاندارد آب اقیانوسی پایین‌تر ($30\text{--}120 \text{ ppm}$) بوده و ظاهر فیزیکی آن بی‌رنگ، طعم‌دار و با مقدار کمی یون است (۶). DDW هم نقش درمانی و هم پیشگیری‌کننده از سرطان را دارد (۲۴). سطوح پایین دوتربیوم در سلول باعث عملکرد مناسب سلول می‌شود (۲۹). آب فاقد دوتربیوم رشد سلول سرطانی را مهار کرده و باعث بهبود کیفیت زندگی می‌شود و برخلاف داروهای ضد سرطان اثرات جانبی و تهاجمی ندارد (۴۴ و ۴۵).

باتوجه به اثرات متعدد این گیاه و آب تهی شده از دوتربیوم در درمان و کاهش آسیب‌ها، بررسی عملکرد آنها حائز اهمیت خواهد بود. از این رو در این تحقیق، اثرات آنتی‌اکسیدانی و ضدالتهابی آب تهی شده از دوتربیوم به‌نهایی و همزمان با انسان نخنا بر روی آسیب‌های اکسیداتیو بافت ریه ناشی از مدل التهابی CLP بررسی می‌گردد.

مواد و روشها

در این مطالعه از آب تهی شده از دوتربیوم (تهیه شده از مجتمع آب‌سنگین ارک، سازمان انرژی اتمی ایران) و انسان نخنا (خریداری شده از شرکت باریج انسان، Batch No:3138-031-93/8 (707051); Sample Serial No:BE930347 استفاده گردید.

علاوه بر این، از ۷۰ سر رت نر بالغ با وزن متوسط ۱۰۰ گرم خریداری شده از مرکز نگهداری حیوانات آزمایشگاهی انستیتوپاستور ایران استفاده گردید. خوراک حیوانات به صورت Pellet با فرمول استاندارد از کارخانجات فرآورده‌های غذایی تهران تهیه شد. حیوانات

با واسطه سیکلواکسیژنаз-۲(COX-2) نیز در ایجاد بیماری دخالت می‌کند (۲۰ و ۳۷). یکی از روش‌های تجربی ایجاد CLP (cecal ligation and puncture) می‌باشد که از سال ۱۹۷۸ تاکنون، برای بررسی جنبه‌های مختلف سپسیس از جمله وضعیت متابولیسم بدن، چگونگی درمان با آنتی‌بیوتیک‌ها، عوامل میکروبی دخیل، پاسخهای قلبی-عروقی، عملکرد سیستم ایمنی، واسطه‌های ترشح شده در التهاب و الگوی بیان سایتوکین‌ها مورد استفاده قرار گرفته است (۱۶). COX-2 مسئول بیشتر آثار مضر و خطرناک سپسیس بوده (۲۰) و مهار اختصاصی آن منجر به کاهش سایتوکین‌های پیش التهابی و کاهش مرگومیر می‌شود (۴۰). همچنین پارامترهای دخیل در تعادل سیستم استرس اکسیداتیو / آنتی‌اکسیدانی از جمله (LP, GSH, MPO) نیز در سپسیس دستخوش تغییر شده و در عوارض آن نقش قابل توجهی دارند (۸).

امروزه داروهای ضدالالتهابی غیراستروئیدی (NSAIDs) نقش بسیار مهمی را در درمان سپسیس ایفا می‌کنند. ولی باتوجه به عوارض جانبی ناشی از مصرف داروهای ضدالالتهابی، امروزه استفاده از ترکیبات طبیعی در درمان سپسیس و التهاب اهمیت ویژه‌ای پیداکرده‌اند (۱۹).

جنس *Mentha* متعلق به تیره نعناء، دارای ۲۹ تا ۳۱ گونه گیاهی، اغلب در مناطق معتدل اروپا و آسیا، استرالیا و جنوب آفریقا یافت می‌شود (۱۲). *Mentha longifolia L.* گیاهی چندساله و معطر است (۳۸) که در طب سنتی غالباً از دمکرده برگ‌های آن استفاده می‌شود (۱۲). تسریع کننده عمل هضم، رفع آسم، اسپاسم، درد معده، سردرد، سرماخوردگی و سرفه و همچنین در استعمال خارجی برای درمان زخم‌ها و غدد متورم (۴۲) و نیز برای درمان برونشیت، نفخ شکم، بی‌اشتهاایی، کولیت و اختلالات روده ایی مانند تهوع و سوء‌هاضمه و اسهال استفاده می‌شود (۱۶ و ۴۷). این گیاه همچنین دارای اثراتی نظیر خواص

به‌منظور مقایسه تغییرات بافتی، لام‌ها توسط میکروسکوپ نوری بررسی و از آنها عکس‌برداری به عمل آمد.

غلظت مالون دی آلدئید (MDA) با اندازه‌گیری میزان جذب توسط دستگاه اسپکتروفوتومتر در ۵۳۵ نانومتر و از روی ضریب خاموشی آن ($1/56 \times 10^5 \text{ L/cm.mmol}$) محاسبه گردید (۴۶). سطح گلوتاتیون احیاء (GSH) به روش Seldak and Limdsay توسط اسپکتروفوتومتر در طول موج ۴۱۲ nm (۳۵) و فعالیت آنزیم گلوتاتیون-S-ترانسفراز (GST) به روش Habig و با استفاده از سوبستران (GST) (۱-Chloro-2,4-dinitrobenzene) توسط دستگاه CDBN (۱-Chloro-2,4-dinitrobenzene) اسپکتروفوتومتر در طول موج ۳۴۰ nm اندازه‌گیری شد (۱۳). همچنین، فعالیت آنزیم میلوپراکسیداز (MPO) با کمی تغییر مطابق روش هایلگاس و همکاران (۱۹۹۰) انجام شد. در این روش تغییر جذب ناشی از مصرف H_2O_2 توسط آنزیم میلوپراکسیداز در طول موج ۴۶۰ نانومتر اندازه‌گیری شد (۱۵).

ظرفیت آنتی‌اکسیدانی توتال پلاسمای توسط تست FRAP (Ferric reducing ability of plasma) و با استفاده از سوبستران TPTZ در طول موج ۵۹۳ نانومتر اندازه‌گیری شد (۷). علاوه بر این، غلظت پروستاگلاندین E2 (PGE₂) براساس روش ELISA و با استفاده از کیت ELISA (Assay Desighs Co, U.S.A) اندازه‌گیری شد.

به‌منظور بررسی بیان ژن COX-2 در بافت ریه، استخراج RNA با استفاده از کیت استخراج (BioBasic Inc, RNA Canada) انجام شد. سپس، به‌منظور حذف RNA از Thermo Scientific استخراج شده، از آنزیم DNase شرکت مصروفی در ساخت cDNA، غلظت RNA موجود در نمونه‌های تیمار شده با DNase، توسط دستگاه نانودرآپ (NanoDrop 2000) خوانده شد. درنهایت، میزان معینی از RNA برای ساخت تمامی cDNAها استفاده گردید. برای ساخت cDNA از RNA استخراج شده، از کیت شرکت

بالغ دسترسی آزاد به غذا و آب آشامیدنی از طریق بطری داشتند. حیوانات به ۷ گروه تقسیم شدند:

(۱) گروه کنترل منفی: تیمار با حلال اسانس نuna (DMSO) و آب معمولی به مدت ۲ هفته به صورت خوراکی و ایجاد laparotomy در روز پانزدهم. (۲) گروه CLP: تیمار با حلال اسانس نuna (DMSO) و آب معمولی به مدت ۲ هفته به صورت خوراکی و ایجاد مدل CLP در روز پانزدهم. گروه‌های تیمار: (۳) گروه‌های تیمار حیوانات با غلظت‌های ۱۵ ppm و (۴) گروه‌های تیمار حیوانات با غلظت‌های ۳۰ ppm از DDW به مدت ۲ هفته به صورت خوراکی و ایجاد مدل CLP در روز پانزدهم. (۵) گروه‌های تیمار اسانس نuna در دوز bw ۱۰۰ mg/kg به صورت خوراکی و همچنین تیمار همزمان حیوانات با غلظت‌های ۱۵ و ۳۰ ppm DDW روزانه به مدت دو هفته و ایجاد مدل CLP در روز پانزدهم. (۶) گروه کنترل CLP در روز پانزدهم. (۷) گروه مثبت: تزریق داروی ضدالتهابی ایندوماتاسین (ibuprofen) به مدت دو هفته و ایجاد مدل CLP (روش CLP ۲bw در دیواره شکمی رت‌های بیهوده شده برشی به‌اندازه ۲ سانتی‌متر ایجاد شد، سکوم خارج و از بخش سکوم تا زیر دریچه ایلنوسکال بخیه و در سکوم آنها ۲ سوراخ توسط نیدل G20 ایجاد گردید. سپس روده را به داخل محفظه شکمی برگردانده و پوست و صفاق بخیه زده شد). رت‌ها ۲۴ ساعت پس از جراحی CLP بی‌هوش شدن و از قلب آنها خون‌گیری و سرم به‌وسیله سانتریفیوژ به‌منظور بررسی آنزیم FRAP و PGE2 جدا گردید. در مرحله بعدی، حیوانات کشته شده و بافت ریه آنها به‌منظور بررسی پارامترهای مربوط به آسیب اکسیداتیو (LP, GSH, GST, MPO) و بیان ژن COX-2 جدا و هموژن گردید.

همچنین، بافت ریه برای بررسی هیستوپاتولوژیک برداشته شد و در بافر فرمالین ۱۰ درصد فیکس گردید. برش‌های نازکی به ضخامت ۵-۶ میکرون از بافت بلوك شده در پارافین تهیه و به روش H&E رنگ‌آمیزی شدند. سپس،

نتایج

براساس جدول ۱، سطح MDA به عنوان محصول لبپید پراکسیداسیون و آنزیم میلوپراکسیداز در بافت ریه رت‌های مبتلا به سپسیس (گروه CLP) افزایش می‌یابد ($P < 0.05$). تیمار رت‌های سپتیکی با آب تهی شده از دوتربیوم در دوزهای ۱۵ و ۳۰ ppm به تهایی و همزمان با اسانس باعث کاهش معنی‌دار سطح پراکسیداسیون لبپیدها می‌گردد که این کاهش در گروه تیمار شده با داروی ضدالتهابی ایندوماتاسین نیز دیده می‌شود ($P < 0.05$). همچنین، سطح گلوتاتیون در گروه CLP نسبت به گروه کنترل کاهش می‌یابد ($P < 0.05$). تیمار رت‌های سپتیکی با DDW و اسانس نعنا به صورت مجزا و باهم در هر دو دوز باعث افزایش معنی‌دار میزان گلوتاتیون می‌گردد که این افزایش در گروه تیمار شده با ایندوماتاسین نیز دیده می‌شود ($P < 0.05$).

نتایج نشان می‌دهد که نه تنها بیماری سپسیس بلکه تیمار رت‌ها با اسانس نعنا و DDW در تمام دوزها تأثیری بر روی آنزیم GST ندارد ($P > 0.05$). به علاوه، میزان FRAP در نمونه‌ی پلاسمای موش‌های سپتیکی، ۲۴ ساعت پس از ایجاد CLP کاهش و در گروه‌های تیمار هم‌زمان با اسانس نعنا و DDW افزایش می‌یابد ($P < 0.05$) درحالی که آب فاقد دوتربیوم به تهایی در دوزهای ۱۵ و ۳۰ ppm میزان FRAP ندارد ($P > 0.05$). همچنین ایندوماتاسین نتایج مشابه با گروه‌های تیمار با DDW را در خصوص میزان FRAP نشان می‌دهد ($P > 0.05$).

از سوی دیگر، ایجاد سپسیس منجر به افزایش قابل ملاحظه سطح PGE2 در پلاسما نسبت به گروه لاپاراتومی می‌شود ($P < 0.05$) و سطح این فاکتور در گروه‌های تیمار با آب تهی شده از دوتربیوم در دوزهای ۱۵ و ۳۰ ppm اسانس نعنا همراه با آب در هر دو دوز به صورت معنی‌داری کمتر از گروه CLP می‌باشد ($P < 0.05$). همچنین در گروه کنترل مثبت (ایندوماتاسین) نیز مقدار PGE2 کاهش می‌یابد ($P < 0.05$) (جدول ۲). علاوه بر این، نتایج نشان‌دهنده

تاكارا (Takara bio Inc, Japan) استفاده گردید. در ادامه به منظور تأیید انجام مراحل قبل، واکنش PCR برای ژن موردنظر انجام شد و سپس محصول حاصل بر روی ژل آگارز ۲/۵ درصد بارگذاری گردید.

به منظور انجام واکنش PCR و Real time PCR از پرایمرهای اختصاصی ژن Cox-2 (F: ۵'ACCTCTGCGATGCTCTTC3', R: ۵'AGGAATCTCGCGTAGTAC3') و (F: ۵'TGCCAGCCTCGTCTCATAG3', R: ۵'ACTGTGCCGTTGAACATTGC3') استفاده شد. درنهایت، واکنش Real time PCR با استفاده از پرایمر QuantiNova SYBR Green اختصاصی و کیت مخصوص PCR Kit انجام پذیرفت. این کیت حاوی تمام مواد لازم برای انجام واکنش PCR (آنزیم Taq، بافر همراه با $MgCl_2$ و dNTPs) و رنگ سایبرگرین می‌باشد که به عنوان مستر Real time PCR (حجم نهایی ۱۰ میکرولیتر) حاوی $5\ \mu\text{l}$ مستر میکس، $0.4\ \mu\text{l}$ پرایمرهای Forward و Reverse و $0.5\ \mu\text{l}$ cDNA و $1\ \mu\text{l}$ آب عاری از Nuclease می‌باشد. به منظور اطمینان از صحت انجام واکنش، نمونه‌های حاوی ژن مورد آزمایش (COX-2) و نمونه حاوی ژن کنترل داخلی (GAPDH) در بلیت‌ها به صورت سه‌تایی ریخته شد. درنهایت، از چرخه حرارتی شامل ۳ مرحله، دناتوراسیون اولیه با دمای 95°C به مدت ۲ دقیقه - 40 سیکل دمایی شامل 95°C به مدت 15 ثانیه، 60°C و 72°C هر کدام به مدت 20 ثانیه - طویل سازی نهایی با دمای $57-95^{\circ}\text{C}$ به مدت 15 ثانیه، جهت انجام واکنش Real-Time PCR استفاده شد. به منظور محاسبه میزان تغییرات بین ژن COX-2 از روش $\Delta\Delta CT$ استفاده گردید.

تفاوت‌های بین داده‌ها با استفاده از نرم‌افزار SPSS و تست ANOVA تعیین گردید. با استفاده از این نرم‌افزار P-value داده‌ها، محاسبه گردید و $P < 0.05$ به عنوان تفاوت معنی‌دار در نظر گرفته شد.

ژن را به صورت معنی‌داری کاهش و به سطح بیان آن در گروه کنترل منفی می‌رسانند ($P < 0.05$).

افراش میزان بیان ژن COX-2 در بافت ریه پس از الک‌سپسیس می‌باشد. گروه‌های مختلف تیمار نتایج مشابه را در تعديل بیان ژن COX-2 نشان می‌دهند و میزان بیان این

جدول ۱- سطح فاکتورهای دخیل در سیستم استرس اکسیداتیو/آنتی‌اکسیدان در بافت ریه

گروه‌ها	MDA (n mol/mg protein)	GSH (n mol/mg protein)	FRAP (μmol/L)	GST (n mol/min/mg protein)	MPO (U/mg protein)
لاپاراتومی	۸/۰۲ ± ۰/۶۵	۳/۶۳ ± ۰/۳۶	۴۰۷ ± ۲۱/۷۶	۹۲ ± ۴/۶۵	۲۴/۶۶ ± ۰/۴۱
CLP	۱۴/۴۱ ± ۰/۹۳ ^a	۲ ± ۰/۱۸ ^a	۲۵۷ ± ۱۰/۹۸ ^a	۹۵/۳۳ ± ۴/۴۱	۵۱/۳۳ ± ۰/۴ ^a
DDW15	۹/۲۱ ± ۰/۷۸ ^b	۳/۰۶ ± ۰/۱۳ ^b	۲۶۵ ± ۱۵/۵۴	۱۱۵ ± ۷/۲۲	۲۴/۶ ± ۰/۶۷ ^b
DDW30	۹/۰۸ ± ۰/۸۳ ^b	۳/۸۸ ± ۰/۱۲ ^b	۲۴۶ ± ۹/۷	۹۷/۳۳ ± ۲/۴۳	۲۵/۲۵ ± ۰/۶۹ ^b
اسانس+DDW15	۸/۹۱ ± ۰/۶۱ ^b	۳/۸۸ ± ۰/۲۹ ^b	۴۲۰ ± ۱۶/۵۶ ^b	۱۵۱ ± ۳/۳۳	۲۳/۱۶ ± ۱/۱۹ ^b
اسانس+DDW30	۹ ± ۰/۶ ^b	۳/۴۷ ± ۰/۳۳ ^b	۳۷۴ ± ۶/۷ ^b	۱۳۲ ± ۳/۸	۲۲/۸ ± ۱/۵۹ ^b
ایندومتاسین	۹/۶۸ ± ۰/۳۵ ^b	۳/۵ ± ۰/۲۴ ^b	۲۸۰ ± ۱۸/۲	۹۲ ± ۵/۰۴	۱۹/۸۳ ± ۱/۵۲ ^b

علامت a نشان‌دهنده نتیجه حاصل از آنالیز آماری گروه CLP بوده که با گروه لاپاراتومی معنی‌دار است ($P < 0.05$)

علامت b نشان‌دهنده نتیجه حاصل از آنالیز آماری گروه‌های مختلف تیمار بوده که با گروه CLP معنی‌دار هستند ($P < 0.05$). نتایج به صورت میانگین ± انحراف معیار (mean ± SEM)

جدول ۲- نتایج حاصل از بیان ژن COX-2 و محصول آن (PGE2)

گروه‌ها	PGE2 (ng/ml)	COX-2 expression
لاپاراتومی	۵۰۸ ± ۲۶/۷	۰ ± ۰/۰۴
CLP	۷۹۶ ± ۲۰/۷ ^a	۰/۱۹ ± ۰/۰۴ ^a
DDW15	۵۸۴ ± ۱۸/۴ ^b	۰/۰۹ ± ۰/۰۲ ^b
DDW30	۷۰۹ ± ۱۸ ^b	۰/۱۰ ± ۰/۰۲ ^b
اسانس+DDW15	۵۱۰ ± ۲۵/۸ ^b	۰/۰۶ ± ۰/۰۲ ^b
اسانس+DDW30	۵۴۳ ± ۴۰/۲ ^b	۰/۰۴ ± ۰/۰۱ ^b
ایندومتاسین	۵۳۶ ± ۳۲/۸ ^b	۰/۰۵ ± ۰/۰۲ ^b

علامت a نشان‌دهنده نتیجه حاصل از آنالیز آماری گروه CLP بوده که با گروه لاپاراتومی معنی‌دار است ($P < 0.05$)

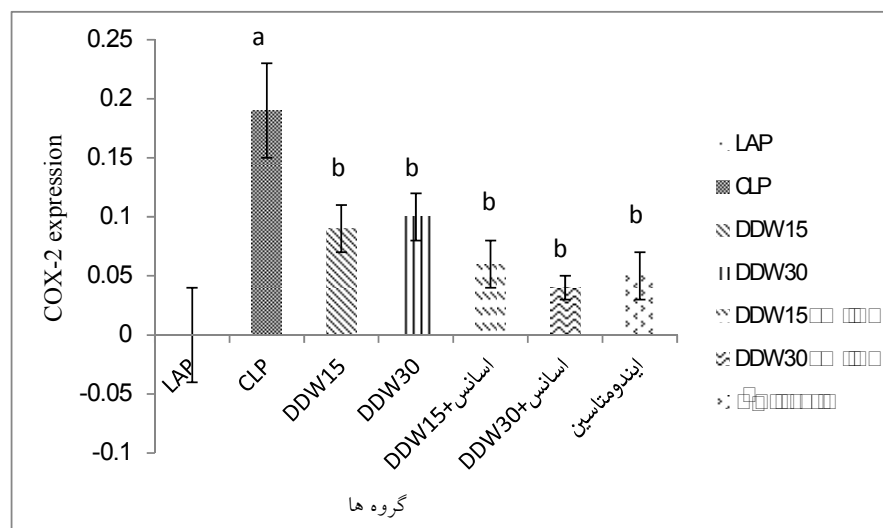
علامت b نشان‌دهنده نتیجه حاصل از آنالیز آماری گروه‌های مختلف تیمار بوده که با گروه CLP معنی‌دار هستند ($P < 0.05$). نتایج به صورت میانگین ± انحراف معیار (mean ± SEM)

بافت ریه در گروه رت‌های مبتلا به سپسیس (گروه CLP) مشاهده می‌گردد. در این گروه، بافت ریه در بازرگانی ظاهری (ماکروسکوپیک) دچار پرخونی است. در بررسی هیستوپاتولوژیک نیز پرخونی شدید دیده می‌شود. ادم

مطالعات هیستوپاتولوژیک بافت ریه نشان می‌دهد که در گروه کنترل (لاپاراتومی) خفیف‌ترین ضایعات بصورت پرخونی، ارتضاح نوتروفیل‌ها در بافت بینایینی و ادم التهابی بافت بینایینی رخ می‌دهد (شکل ۱-A). بیشترین آسیب

(margination)، بافت ریه هیپرسلولار به نظر می‌رسد. تمام این تغییرات نشان‌دهنده وقوع ذات الریه بینایینی حاد در بافت‌های ریه می‌باشد (شکل ۱- B). همانطور که در جدول ۳ مشاهده می‌شود، در گروه CLP، ادم التهابی، ارتشاج نوتروفیل، پرخونی و ذات الریه در بافت‌های بینایینی بطور معنادار نسبت به گروه کنترل ایجاد می‌شود.

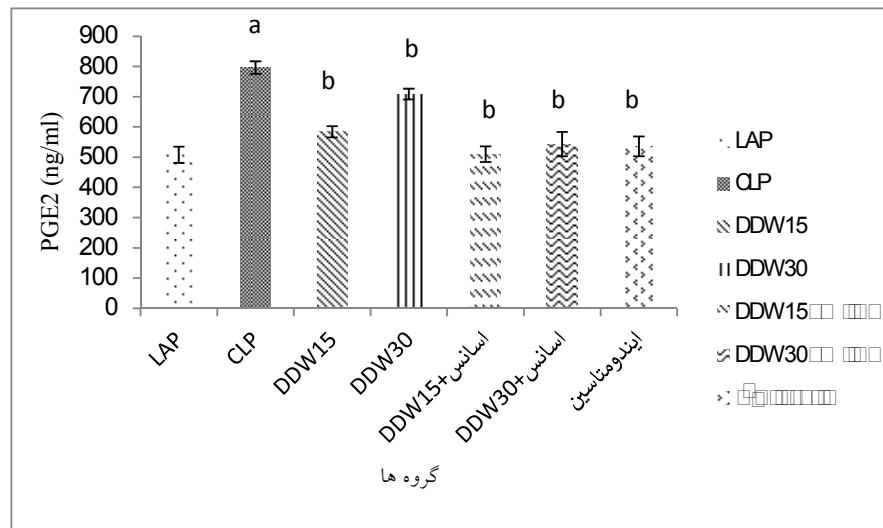
شدید بافت بینایینی باعث گسترش دیواره همبند بین لوبولی می‌گردد. همچنین ادم بینایینی و پیرامون عروقی و خونریزی‌های کانوئی در این گروه دیده می‌شود. دیواره آلوئول‌های ریوی ضخیم شده و به دلیل هایپرتروفی ماکروفازهای درون عروقی و بینایینی ریوی و نیز بدليل نفوذ و حاشیه‌نشینی نوتروفیل‌ها در دیواره سیاهرگ‌ها



نمودار ۱- نتایج حاصل از بیان ژن COX-2 در بافت ریه

علامت a نشان‌دهنده نتیجه حاصل از آنالیز آماری گروه CLP بوده که با گروه لاپاراتومی معنی دار است ($P<0.05$)

علامت b نشان‌دهنده نتیجه حاصل از آنالیز آماری گروههای مختلف تیمار بوده که با گروه CLP معنی دار هستند ($P<0.05$)



نمودار ۲- غلظت پروستاگلاندین E2 در پلاسما

علامت a نشان‌دهنده نتیجه حاصل از آنالیز آماری گروه CLP بوده که با گروه لاپاراتومی معنی دار است ($P<0.05$)

علامت b نشان‌دهنده نتیجه حاصل از آنالیز آماری گروههای مختلف تیمار بوده که با گروه CLP معنی دار هستند ($P<0.05$)

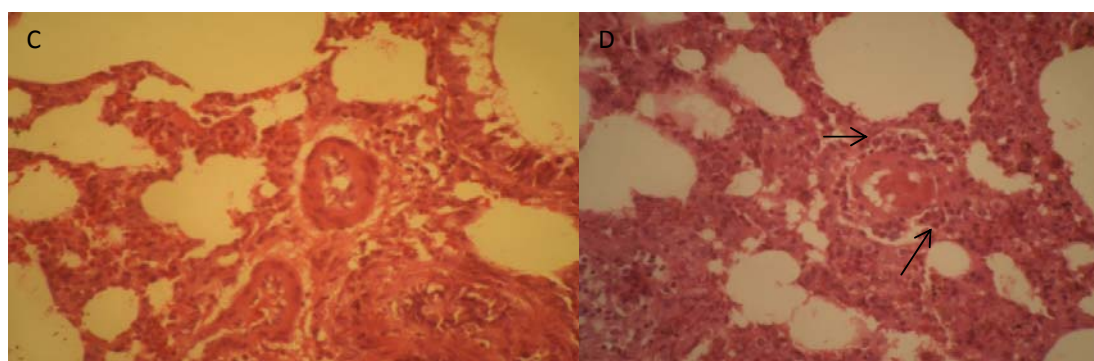
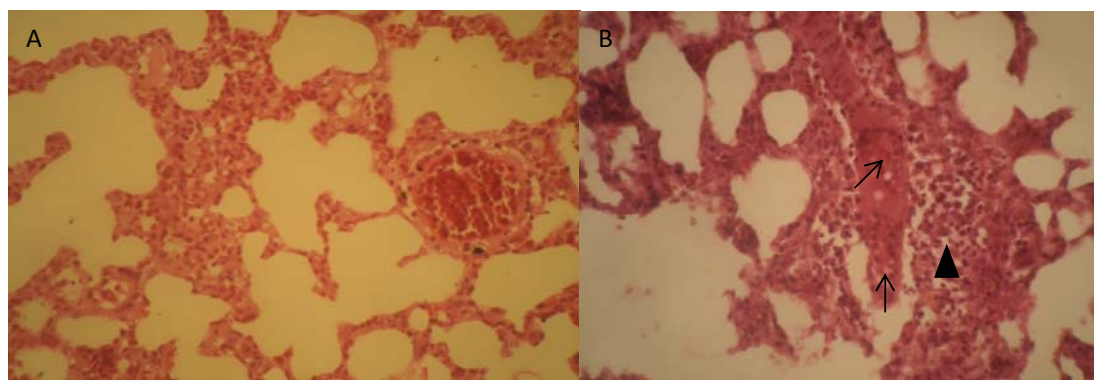
نوتروفیل‌ها و پرخونی گردند (شکل ۱ E, C) (جدول ۳). در گروه تیمار شده با ایندوماتاسین، هیچ گونه پرخونی و ادم با بزرگنمایی ۱۰۰ مشاهده نشد (شکل G1).

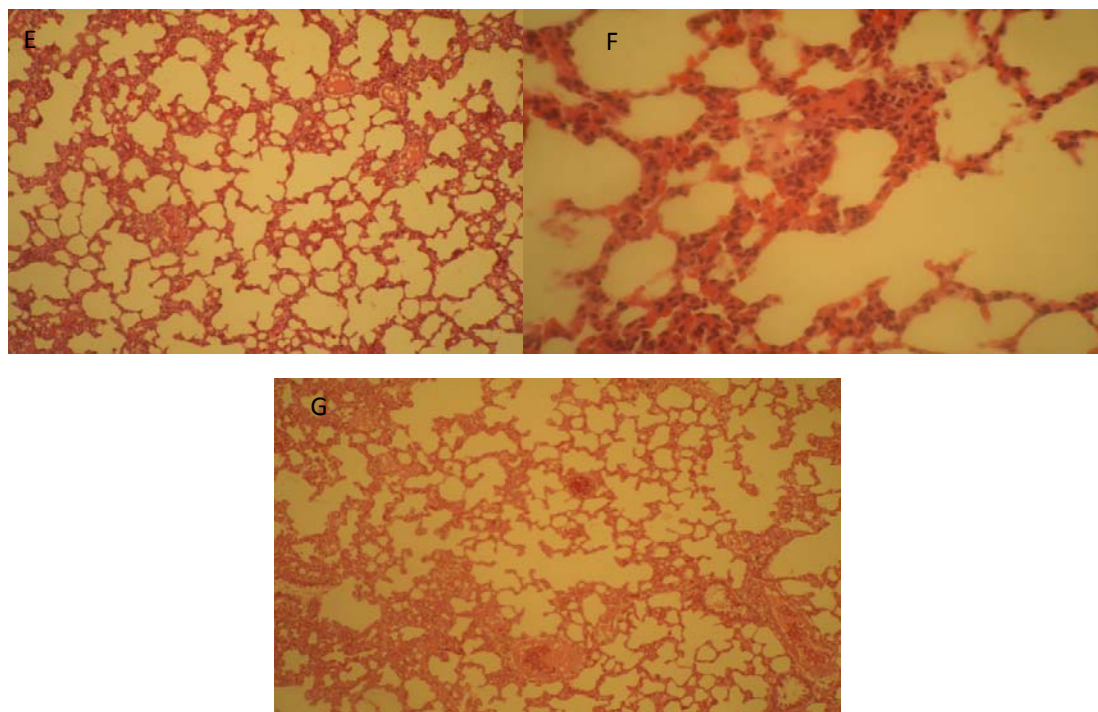
گروه‌های تیمار با انسانس نعنا همراه با آب تهی شده از دوتریوم در هر دو دوز (شکل ۱ E, F) می‌توانند بطور معنادار باعث کاهش ادم، شدت ذات الریه بینایی‌نی، ارتراح

جدول ۳- میانگین و خطای استاندارد مقادیر عددی شاخص‌های آسیب‌شناسی در گروه‌های مختلف مطالعه

گروه‌ها	ادم التهابی	ارتراح نوتروفیل	پرخونی	شدت ذات الریه بینایی‌نی
لاپاراتومی	$1/6 \pm 0/4$	$0/8 \pm 0/3$	1 ± 0	$1/1 \pm 0/2$
CLP	$3/1 \pm 0/1^a$	$3/5 \pm 0/2^a$	$3/5 \pm 0/2^a$	$3/2 \pm 0/1$
DDW15	$1/5 \pm 0/1^b$	1 ± 0^b	$1/4 \pm 0/1^b$	$2/2 \pm 0/3$
DDW30	$3/1 \pm 0$	3 ± 0	3 ± 0	$3/4 \pm 0/2$
DDW15+انسانس	$1/7 \pm 0/1^b$	$1/8 \pm 0/3^b$	2 ± 0^b	$1/6 \pm 0/2^b$
DDW30+انسانس	$2/2 \pm 0/1$	$2/4 \pm 0/2^b$	$2/8 \pm 0/2$	$1/6 \pm 0/4^b$
ایندوماتاسین	$2/3 \pm 0/4$	$2/5 \pm 0/3$	$2/8 \pm 0/4$	$2/6 \pm 0/4$

a: دارای اختلاف معنادار با گروه لاپاراتومی، b: دارای اختلاف معنادار با گروه CLP
نتایج به صورت میانگین \pm انحراف معیار (mean \pm SEM) (بیان شده است).





شکل ۱(A-۱) گروه لاپاراتومی LAP پرخونی و ادم ملایم بافت بینایی و عدم مشاهده نوتروفیل در بافت ریه با بزرگنمایی (B) گروه (B) گروه پرخونی شدید، ادم و التهاب وسیع بافت بینایی ریه (تجمع آستین دار نوتروفیل ها در اطراف سیاهرگ (سر پیکان)، مرزنشینی نوتروفیل ها در مجاور آندوتیلوم سیاهرگ (پیکان‌ها)) با بزرگنمایی *۴۰۰، (C، D) گروه DDW در دوزهای ۱۵ و ۳۰ ppm آندوتیلوم مشاهده پرخونی و ادم در دوز ۱۵ و تجمع آستین وار نوتروفیل ها در اطراف رگ خونی (پیکان‌ها) با بزرگنمایی *۴۰۰، (E) گروه انسانس نعنا در دوز ۱۰۰ mg/kg b.w هم‌زمان با آب تهی شده از دوتریوم در دوز ۳۰ ppm؛ عدم مشاهده پرخونی، ادم و ارتشاح نوتروفیل در بافت بینایی و اطراف عروق خونی با بزرگنمایی ۱۰۰*، (F) گروه ایندوماتاسین: عدم مشاهده پرخونی و ادم با بزرگنمایی ۱۰۰*

است، اما در جوندگان از جمله رت و موش بسیار ساده بوده و به فراوانی نیز مورد استفاده قرار می‌گیرد. ایجاد مدل سپسیس توسط جراحی CLP بسیار کم‌هزینه و سریع می‌باشد و استاندارد کردن آن نیز آسان است (۱۶). از طرف دیگر در مدل CLP، سپسیس از طریق شیفت میکروارگانیسم‌ها و باکتری‌های گرم مثبت و گرم منفی از لومن روده‌ای به جریان خون ایجاد می‌شود. افزایش بار میکروبی از طریق فعال‌سازی مسیرهای دخیل در استرس اکسیداتیو در سپسیس منجر به القاء استرس اکسیداتیو گردیده که درنهایت منجر به آسیب ارگان‌های بدن می‌گردد (۱۶).

بنابراین، با توجه به عوامل تأثیرگذار در ایجاد سپسیس می‌توان راهکارهای درمانی را تعیین کرد که یکی از بهترین

بحث و نتیجه‌گیری

التهاب حاد ریوی یکی از عوارض مزمун سپسیس است که درنهایت منجر به مرگ بیماران مبتلا به سپسیس می‌شود (۱۱). به همین دلیل جلوگیری از سپسیس و عوارض ناشی از آن بهخصوص آسیب ریوی حاصل از سپسیس از اهمیت زیادی برخوردار است.

دراین مطالعه به‌منظور بررسی اثرات حفاظتی، آنتی‌اکسیدانی و ضدالتهابی آب تهی شده از دوتریوم و سپسیس در سیستم *in vitro*، از یک مدل تجربی التهابی در رت (CLP) که نسبت به سایر مدل‌های التهابی برتری دارد، استفاده گردید. این مدل در حیوانات مختلف قابل انجام

بالای رادیکال‌های آزاد مخصوصاً پراکسیدها نقش کلیدی در بیماری‌زایی تعدادی از بیماری‌ها مانند دیابت، بیماری‌های قلبی عروقی، سرطان، پیری و انواع بیماری‌های دیگر دارد (۳). مطالعات متعددی ثابت کرده‌اند که میزان محصولات پراکسیداسیون لیپیدها در بیماران مبتلا به سپسیس افزایش می‌یابد (۳۰). این گزارشات تأییدی بر نتایج به دست آمده در تحقیق حاضر می‌باشند و همچنین نشان‌دهنده‌ی نزدیک بودن شرایط بالینی بیماران به مدل به کاررفته در این تحقیق است. از طرفی، گلوتاتیون، یک آنتی‌اکسیدان آمینواسیدی است که عامل فعال آن گروه HS (تیول) می‌باشد. این ترکیب هم در خون و هم در بافت‌ها یافت می‌شود و یکی از نقص‌های آن، جلوگیری از پراکسیداسیون لیپیدها در غشاء‌های بیولوژیکی می‌باشد. گلوتاتیون می‌تواند به طور مستقیم یا به عنوان سوبستران آنزیم‌های گلوتاتیون پراکسیداز و گلوتاتیون S – ترانسفراز در سمزدایی پراکسید هیدروژن، لیپید هیدروپیر اکسیدها و ترکیبات الکتروفیلیک شرکت نماید (۲۸).

این داده‌ها (MPO, GSH, LP) همراه با نتایج هیستوپاتولوژیکی (شکل ۱) نشان می‌دهند که آسیب اکسیداتیو بافت ریه حاصل از سپسیس، تخریب بافتی شدیدی را در ۲۴ ساعت پس از CLP موجب شده است. مطالعات دیگر نیز نشان دادند که در مدل التهابی CLP، تغییر پارامترهای دخیل در استرس اکسیداتیو منجر به آسیب بافتی می‌شود که با نتایج تحقیق حاضر مطابقت دارد (۴، ۳۶).

علاوه‌براین، نتایج حاصل از تیمار رت‌ها در بررسی مارکرهای آسیب اکسیداتیو در بافت ریه نشان می‌دهد که آب تهی شده از دوتربیوم در دو دوز ppm ۱۵ و ۳۰ ترکیب آن با انسنس نتنا در دوز ۱۰۰ mg/kg bw باعث مهار تغییر پارامترهای فوق در رت‌های مبتلا به سپسیس در ۲۴ ساعت پس از CLP می‌گردد (جدول ۱). به علاوه، نتایج حاصل از داروی شناخته شده ضدالالتهابی ایندوماتاسین – که

آن‌ها کاهش سطح بار میکروبی و کاهش عوامل استرس اکسیداتیو و التهابی است. درمان‌های رایج سپسیس شامل استفاده از آنتی‌بیوتیک‌ها برای کاهش بار میکروبی، همچنین تقویت سیستم آنتی‌اکسیدانی توسط داروهای مختلف می‌باشد. به علاوه داروهای ضدالالتهابی با کاهش واکنش‌های التهابی ناشی از سپسیس می‌تواند باعث تعویق یا درمان بیماری گردد. گیاهان دارویی و محصولات طبیعی منع ارزشمندی از عوامل درمانی بوده و امروزه هنوز هم یک موضوع مهم برای شناسایی داروهای جدید هستند (۲۷ و ۲۲).

نتایج حاصل از بررسی پارامترهای دخیل در آسیب اکسیداتیو در بافت ریه رت‌های مبتلا به سپسیس نشان داد که در گروه CLP، سطح پارامترهای مربوط به استرس اکسیداتیو ۲۴ ساعت بعد از القاء سپسیس دچار اختلال می‌شوند. این پارامترها (آنزیم میلوپراکسیداز، مالون دی‌آلدئید و گلوتاتیون) از شاخص‌های وضعیت سیستم استرس اکسیداتیو می‌باشند که در سپسیس به دلیل نقص در سیستم دفاع آنتی‌اکسیدانی دچار اختلال می‌شوند (۸). اولین مشاهدات در آسیب اکسیداتیو بافتی حاصل از سپسیس افزایش سطح LP در بافت ریه همراه با افزایش CLP می‌باشد (۸). در سپسیس، آنزیم میلوپراکسیداز با استفاده از H_2O_2 باعث تولید واسطه‌های فعالی می‌گردد که این واسطه‌ها پراکسیداسیون لیپیدها را افزایش می‌دهند (۳۱). آنزیم MPO نقش بسیار مهمی را در شروع پراکسیداسیون لیپیدها در سیستم in vivo ایفاء می‌کند. علاوه بر آن، شروع پراکسیداسیون لیپیدها و تشکیل ایکوزانوئیدهای فعال فرایندهای مهمی در التهاب هستند (۴۸). در مطالعه‌ای، اندازه‌گیری فعالیت آنزیمی MPO به عنوان بیومارکر در پاسخ التهابی در بیماران با SIRS و سپسیس گزارش شده است (۲۳). همچنین، MDA به عنوان مارکر استرس اکسیداتیو، آخرین محصول تجزیه لیپیدها است. حضور

بازگشت سطح ظرفیت آنتیاکسیدانی کل پلاسمای (FRAP) به حالت نرمال می‌شود (جدول ۱) ولی تیمار با آب تهی شده از دوتربیوم به تنها ی در هر دو دوز تغییری بر میزان این فاکتور ایجاد نکرد (جدول ۱). همانطور که اشاره شد یکی از روش‌های رایج اندازه‌گیری ظرفیت آنتیاکسیدانی نمونه‌های بیولوژیک، استفاده از روش FRAP است که در سال ۱۹۹۶ توسط بنزی و همکارانش معرفی شد (۷). مطالعه‌ای نشان داده است که در بیماران مبتلا به شوک سپتیک، میزان FRAP و فاکتورهای دخیل در آن مثل اسید اوریک و بیلری‌روین متناسب با شدت سپسیس افزایش می‌یابد (۵).

همچنین، نتایج حاصل از تحقیق نشان می‌دهد که ایجاد سپسیس تأثیری بر آنزیم GST ندارد (جدول ۱). GST مسئول سمزدایی ترکیبات کارسینوژنیک و سایتوتوکسیک از طریق کونژوگه کردن آنها با گلوتاتیون می‌باشد. به دلیل آنکه بسیاری از مواد سمی و مضر از طریق کونژوگه شدن با گلوتاتیون غیرفعال می‌شوند، گاهی نقص در عملکرد GST می‌تواند باعث حساس شدن بافت‌های بدن به مواد سمی و کارسینوژن‌های شیمیایی شود. در واقع نقش ایزوآنزیم‌های مختلف GST، محافظت از سلول در مقابل صدمات اکسیداتیو از طریق ترکیب متابولیت‌های فعال سوموم و داروها با گلوتاتیون می‌باشد (۱۷).

از طرفی مهار ژن COX-2 به عنوان یک راهکار درمانی مؤثر برای پیشگیری از التهاب و آسیب‌های بافتی حاصل از آن معرفی شده است (۴۱). COX-2 نقش مهمی در پاتوژن التهاب بازی می‌کند و به طور قابل توجهی توسط محرك‌های التهابی که منجر به افزایش سنتز پروستاتنونئیدها (واسطه‌های التهابی قوی) در بافت‌های التهابی می‌شود، تشديد می‌گردد. PGE2 فراوانترین پروستاتنونئید در بافت‌های التهابی است که از آراشیدونیک اسید طی فعالیت COX-2 ایجاد می‌شود (۱۴). بررسی این پارامتر دخیل در فرایند التهاب در گروه CLP نشان داد که افزایش بیان ژن

در این تحقیق به عنوان گروه کنترل مثبت استفاده شده است - همانند گروه‌های تیمار می‌باشد. نتایج بررسی‌های هیستوپاتولوژیک نیز تأثیر تیمارهای مختلف در تعديل آسیب‌های بافتی را تائید می‌کنند (شکل ۱). جبران کاهش گلوتاتیون که یک جزء مهم از سیستم حفاظتی داخل سلولی بر علیه استرس اکسیداتیو می‌باشد، منجر به بازیافت مکانیسم دفاع سلولی و توقف پر اکسیداسیون لیپیدها گردیده که درنتیجه سلول را در مقابل آسیب اکسیداتیو بافتی محافظت می‌کند. بنابراین کاهش معنی‌دار در میزان مالون دی‌آلدهید بافت ریه ($P < 0.05$) در رت‌های تیمار شده همزمان با کاهش قابل ملاحظه در میزان فعالیت آنزیم میلوبراکسیداز نشان‌دهنده نقش محافظتی این ترکیبات در جلوگیری از پراکسیداسیون لیپیدها است. به عبارت دیگر، جلوگیری از پراکسیداسیون لیپیدها در بافت ریه به واسطه مهار فعالیت آنزیم MPO توسط انسان نuna و DDW می‌تواند یکی از مکانیسم‌های دخیل در اثر محافظتی این ترکیبات در جلوگیری از آسیب بافتی باشد. این نتیجه با گزارش ارائه شده توسط ویلا مبنی بر نقش محافظتی گلوتاتیون در سپسیس مطابقت دارد (۴۳). همچنین، فاطمی و همکاران (۲۰۱۰) نشان دادند که انسان زیره دارای اثر محافظتی در مدل تجربی سپسیس بر روی MPO، GSH و LP می‌باشد (۱۱). مطالعه‌ی دیگری نشان داد انسان گلپر می‌تواند کبد را در برابر استرس اکسیداتیو ناشی از سمیت داروها محافظت نماید (۲). در مطالعات قبلی نیز رسولی و همکاران اثر آنتیاکسیدانی DDW را در محافظت از کبد در برابر سمیت مواد نشان دادند (۳۲). همچنین بررسی دیگری حاکی از آن است که در رت‌های مبتلا به سپسیس، ۱۶ ساعت پس از CLP در دو بافت کبد و ریه محصول پر اکسیداسیون لیپیدها افزایش می‌یابد (۳۶).

از سوی دیگر، نتایج به دست‌آمده در این مطالعه نشان داد که میزان FRAP در نمونه‌ی پلاسمای موش‌های سپتیکی، ۲۴ ساعت پس از ایجاد CLP کاهش می‌یابد و تیمار رت‌ها با انسان همزمان با DDW در هر دو دوز باعث افزایش و

استرس اکسیداتیو در گسترش آسیب‌های بافتی ناشی از التهاب نقش مهمی دارند (۱۰). همچنین نتایج حاصل از بررسی بیان ژن COX-2 و PGE2 در بافت ریه نشان می‌دهد که تیمار آب فاقد دوتربیوم در دوز ppm ۱۵ و ۳۰ و ترکیب اسانس و DDW باعث تعدیل بیان این ژن و محصول آن (PGE2) در رت‌های مبتلا به سپسیس در ۲۴ ساعت پس از CLP می‌گردد. شایان ذکر است که بیان ژن COX-2 در سلول‌های نرمال در سطح بسیار پایینی قرار دارد. این آنزیم در ماکروفائزها و سلول‌های آندوتیال در طول شرایط التهابی از جمله سپسیس القاء گردیده و افزایش شدیدی می‌یابد (۹).

COX-2 در رت‌های سپتیکی، منجر به افزایش تولید PGE2 و درنتیجه افزایش سطح آن در پلاسمما می‌شود که درنهایت منجر به آسیب بافتی در ریه می‌گردد (جدول ۲، نمودار ۱ و ۲). در سپسیس و التهاب حاد، افزایش تولید رادیکال‌های آزاد و واکنش بین انواع سایتوکین‌های پیش التهابی و ضدالتهابی باعث ازکارافتادن بسیاری از ارگان‌ها و درنهایت مرگ می‌گردد (۱۰). در این بیماری، اجزاء مهمی از فرایندهای پاتولوژیکی دست به دست هم می‌دهند تا نوتروفیل‌ها را برای آزادسازی یک سری از واسطه‌هایی که در تخریب سلول‌های نرمal نقش دارند، تحریک کنند. مطالعات نشان می‌دهند که القاء ژن COX-2 با تشديد

منابع

۱. دادخواه، ا، فاطمی، ف، محمدی ملایری، م. ر، رسولی، آ، کاروین آشتیانی، م. ح، موسوی، ز، و ناییج، ص، ۱۳۹۷. تاثیر اسانس نعنای بر روی استرس اکسیداتیو و بیان ژن COX-2 در پیشگیری از سپسیس، مجله پژوهش‌های سلوالی و مولکولی، جلد ۳۱، شماره ۴، صفحه ۵۶۷-۵۸۱.
۲. دادخواه، الف، خلچ، ق، فاطمی، ف، دینی، س، ناییج، ص، و فدایی مفراد، م، ۱۳۹۵. بررسی اثر محافظتی اسانس گلپر (Persicum Heracleum) در مسمومیت حاد کبدی ناشی از استامینوفن در موشهای نژاد ویستان، مجله پژوهش‌های جانوری (مجله زیست‌شناسی ایران)، جلد ۲۹، شماره ۳، صفحه ۲۹۲-۳۰۶.
3. Ahmadvand, H., Amiri, H., Dalvand, H., and Bagheri, S., 2014. Various antioxidant properties of essential oil and hydroalcoholic extract of Artemisa persica, Journal of Birjand University of Medical Sciences, 20 (4), PP: 416-424.
4. Aksoy, A. N., Toker, A., Celik, M., Aksoy, M., Halici, Z., and Aksoy, H., 2014. The effect of progesterone on systemic inflammation and oxidative stress in the rat model of sepsis, Indian Journal of Pharmacology, 46, PP: 622-626.
5. Andresen, M., Regueira, T., Bruhn, A., Perez, D., Strobel, P., Dougnac, A., and et al., 2008. Lipoperoxidation and protein oxidative damage exhibit different kinetics during septic shock. Mediators Inflamm 16 p.
6. Barishev, M. G., Dzhimak, S. S., Frolov, V. U., Bolotin, S. N., and Dolgov, M. A., 2013. Technologies for obtaining deuterium depleted water. International Journal of Engineering Research and Applications, 3, PP: 523-526.
7. Benzie, I. F., and Strain, J. J., 1996. The ferric reducing ability of plasma (FRAP) as a measure of "antioxidant power": the FRAP assay, Analytical Biochemistry, 239(1), PP: 70-6.
8. Cherian, S., Jameson, S., Rajarajeswari, C., Helena, V., Latha, L., Anu Rekha, M. R., and et al., 2007. Oxidative stress in sepsis in children. Indian Journal of Medical Research, 125(2), PP: 143-8.
9. Crofford, L. J., Lipsky, P. E., Brooks, P., Abramson, S. B., Simon, L. S., and Van de Putte, L. B., 2000. Basic biology and clinical application of specific cyclooxygenase-2 inhibitors, Arthritis & Rheumatology, 43(1), PP: 4-13.
10. Esmaeili, B., Rezaee, S. A. R., Layegh, P., Tavakkol Afshari, J., Dye, P. h., Ghayoor Karimiani, E., and et al., 2011. Expression of IL-17 and COX2 Gene in Peripheral Blood Leukocytes of Vitiligo Patients. Iran Journal Allergy Asthma Immunology, 10(2), PP: 81-89.
11. Fatemi, F., Allameh, A., Khalafi, H., and Ashrafiheilan, J., 2010. Hepatoprotective effects of γ -irradiated caraway essential oils in experimental sepsis. Applied Radiation and Isotopes, 68, PP: 280-285.
12. Ghaderi, P., Ahmadi, R., Balkanyian, F., Moridikyia, A., Mahdavi, E., and Tavakoli, P., 2014. In-vitro antibacterial activity of bunium persicum and Mentha longifolia against Bacillus

- subtilis and *Staphylococcus aureus*. International Conference on Chemical, Agricultural and Medical Sciences (CAMS-2014) May 2-3, 2014 Antalya (Turkey).
13. Habig, W. H., Pabst, M. J., and Jakoby, W. B., 1974. Glutathione S-transferases. The first enzymatic step in mercapturic acid formation, *Journal of Biological Chemistry*, 249(22), PP: 7130-9.
 14. Harirforoosh, S., Asghar, W., and Jamali, F., 2013. Adverse Effects of Nonsteroidal Antiinflammatory Drugs: An Update of Gastrointestinal, Cardiovascular and Renal Complications. *Journal of Pharmacy and Pharmaceutical Sciences*, 16(5), PP: 821-847.
 15. Hillegass, L. M., Griswold, D. E., Brickson, B., and Albrightson- Winslow, C., 1990. Assessment of myeloperoxidase activity in whole rat kidney, *Journal of Pharmacological and Toxicological Methods*, 24, PP: 285-95.
 16. Hubbard, W. J., Choudhry, M., Schwacha, M. G., and Kerby, J. D., 2005. Cecal ligation and puncture. *Shock* 24, PP: 52-57.
 17. Jaitovich-Groisman, I., Fotohi, N., Schecter, R. L., and Woo, A., 2000. Modulation of glutathion-s-transferase alpha by hepatitis Bvirus and the chemopreventive drug Oltipraz, *Journal of Biological Chemistry*, 275(43), PP: 33395-403.
 18. Juncal, V. R., Neto, L. A. D., Camelier, A. A., Messeder, O. H. C., and Farias, A. M. D. C., 2011. Clinical impact of sepsis at admission to the ICU of a private hospital in Salvador, *Brazilian Journal of Pulmonology*, 37(1), PP: 85-92.
 19. Kamatou, G. P. P., Viljoen, A. M., Gono-Bwalya, A. B., Van Zyl, R. L., Van Vuuren, S. F., Lourens, A. C. U., and et al., 2005. The in vitro pharmacological activities and a chemical investigation of three South African *Salvia* species, *Journal of Ethnopharmacology*, 102, PP: 382-90.
 20. Keller, S. A., Paxian, M., Lee, S. M., Clemens, M. G., and Huynh, T., 2005. Kupffer Cell Ablation Attenuates Cyclooxygenase-2 Expression after Trauma and Sepsis, *Journal of Surgical Research*, 124, PP: 126-133.
 21. Krempels, K., Somlyai, I., Somlyai, G. 2008. A retrospective evaluation of the effects of deuterium depleted water consumption on 4 patients with brain metastases from lung cancer. *Integrative Cancer Therapies* 7: 172-81.
 22. Kinghorn, A. D., Pan, L., Fletcher, J. N., and Chai, H., 2011. The relevance of higher plants in lead compound discovery programs, *Journal of Natural Products*, 74, PP: 1539-1555.
 23. Kothari, N., Keshari, R. S., Bogra, J., Kohli, M., Abbas, H., Malik, A., and et al., 2011. Increased myeloperoxidase enzyme activity in plasma is an indicator of inflammation and onset of sepsis, *Journal of Critical Care*, 26(4), 435 p.e1-7.
 24. Kovacs, A., Guller, I., Krempels, K., Somlyai, I., Janosi, I., Gyongyi, Z., and et al., 2011. Deuterium Depletion May Delay the Progression of Prostate Cancer, *Journal of Cancer Therapy*, 2, PP: 548-556.
 25. Martin, G. S., Mannino, D. M., Eaton, S., and Moss, M., 2003. The epidemiology of sepsis in the United States from 1979 through 2000, *The New England Journal of Medicine*, 348(16), PP: 1546-54.
 26. Nelson, S. D., 1995. Mechanisms of the formation and disposition of reactive metabolites that can cause acute liver injury, *Drug Metabolism Reviews*, 27, PP: 147-177.
 27. Newman, D. J., and Cragg, G. M., 2012. Natural products as sources of new drugs over the 30 years from 1981 to 2010, *Journal of Natural Products*, 75, PP: 311-335.
 28. Nordberg, J., and Arner, E., 2001. Reactive oxygen species, antioxidant, and the mammalian thioredoxin system, *Free Radical Biology & Medicine*, 31(11), PP: 1287-312.
 29. Olariu, L., Petcu, M., Cuna, S., Tulcan, C., Gravila, C., Petrovici, S., and et al., 2010. Deuterium Depleted Water Behavior in Chromium (VI) Intoxicated Female rats, *Journal of Biotechnology*, 1, 72 p.
 30. Ortolani, O., Conti, A., De Gaudio, A. R., Moraldi, E., Cantini, Q., and Novelli, G., 2000. The effect of glutathione and N-acetylcysteine on lipoperoxidative damage in patients with early septic shock. *American Journal of Respiratory and Critical Care Medicine*, 161(6), 1907 p.
 31. Podrez, E. A., Abu-Soud, H. M., Stanley, L., and Hazen, S. L., 2000. Myeloperoxidase-generated oxidants and atherosclerosis. *Free Radical Biology & Medicine*, 28(12), PP: 1717-1725.
 32. Rasooli, A., Fatemi, F., Akbarzadeh, K., Dini, S., Bahremand, S. H., 2016. Synergistic protective activity of deuterium depleted water (DDW) and satureja rechingeri essential oil on hepatic oxidative injuries induced by acetaminophen in rats, *Journal of Essential Oil Bearing Plants*, 19(5), PP: 1086-1101.

33. Razavi, S. M., Zarrini, G., and Molavi, G., 2012. The evaluation of some biological activity of *Mentha longifolia* (L.) Huds growing wild in Iran, *Pharmacologia* 3(10), PP: 535-538.
34. Saeidi, S., Hassanpour, K., Ghamgosha, M., Heiat, M., Taheri, R. A., Mirhosseini, A., and et al., 2014. Antibacterial activity of ethyl acetate and aqueous extracts of *Menthalongifolia* L. and hydroalcoholic extract of *Zataria multiflora* Boiss, Plants against important human pathogens, *Asian Pac Journal Trop Biomed* 4(12), PP: 972-975.
35. Seldak, J., and Limdsay, 1986. Estimation of total protein bound and non-protein sulfidryl groups in tissue with Elman, s reagent, *Analytical Biochemistry*, 25, PP: 192-205.
36. Şener, G., Toklu, H., Ercan, F., and Erkanlı, G., 2005. Protective effect of b-glucan against oxidative organ injury in a rat model of sepsis, *International Immunopharmacology*, (2005) 5, PP: 1387-96.
37. Sharma, R. A., Dagleish, A. G., Steward, W. P., and O'byrne, K. J., 2003. Angiogenesis and the immune response as targets for the prevention and treatment of colorectal cancer (Review), *Oncology Reports*, 10, PP: 1625-1631.
38. Stanislavljević, D. M., Stojičević, S. S., Đorđević, S. M., Zlatković, B. P., Veličković, D. T., Karabegović, I. T., and et al., 2012. Antioxidant activity, the content of total phenols and flavonoids in the ethanol extracts of *Mentha longifolia* (L.) Hudson dried by the use of different techniques, *Chemical Industry & Chemical Engineering Quarterly*, 18(3), PP: 411-420.
39. Stearns-Kurosawa, D. J., Osuchowski, M. F., Valentine, C., Kurosawa, S., and Remick, D. G., 2011. The pathogenesis of sepsis, *Annual Review Of Pathology-Mechanisms Of Disease*, 6, PP: 19-48.
40. Strong, V. E. M., and Mackrell, P. J., 2000. Concannon E. M, Naama H. A, Schaefer P. A, Shaftan G. W, Stapleton P. P, Daly J. M, Blocking prostaglandin E2 after trauma attenuates pro-inflammatory cytokines and improves survival, *Shock* 14, PP: 374-9.
41. Surh, Y. J., Chun, K. S., Cha, H. H., Han, S. S., Keum, Y. S., Park, K. K., and et al., 2001. Molecular mechanisms underlying chemopreventive activities of anti-inflammatory phytochemicals: down-regulation of COX-2 and iNOS through suppression of NF-kappa B activation, *Mutation Research*, 480(481), PP: 243-68.
42. Unnithan, C. R., Gebreselassie, H., Sushen, U., Reddy, D. N., Woldu, A., and Muuz, M., 2013. Chemical composition and antibacterial activity of essential oil of *Mentha longifolia* L of Mekole, Ethiopia, *Journal of Biological and Scientific Opinion*, 1(3), PP: 151-153.
43. Villa, P., Saccani, A., and Sica, A., 2002. Glutathione protects mice from lethal sepsis by limiting inflammation and potentiating host defense, *Journal of Infectious Diseases*, 185, PP: 1115-20.
44. Wang, H., Liu, C., Fang, W., and Yang, H., 2012. Research progress of the inhibitory effect of deuterium-depleted water on cancers, *Nan Fang Yi Ke Da Xue Xue Bao* 32(10), PP: 1454-6.
45. Wang, H. L., Li, Y. X., Niu, Y. T., Zheng, J., Wu, J., Shi, G. J., and et al., 2015. Observing anti-inflammatory and anti-nociceptive activities of glycyrrhizin through regulating COX-2 and pro-inflammatory cytokines expressions in mice, *Inflammation* 38, PP: 2269-2278.
46. Wills, E. D., 1969. Lipid peroxide formation in microsomes: General consideration, *Biochemical journal*, 113, PP: 315-324.
47. Zargari, A., 1990. Medicinal Plants, (4nd edn), Tehran University Publications, PP: 14-18.
48. Zhang, R., Brennan, M. L., Shen, Z., MacPherson, J. C., Schmitt, D., Molenda, C. E., and et al., 2002. Myeloperoxidase Functions as a Major Enzymatic Catalyst for initiation of Lipid Peroxidation at Sites of Inflammation, *Journal of Biochemistry*, 277(48), PP: 46116-22.

Considering the anti-inflammatory and antioxidant activities of DDW and *Mentha longifolia* E.O on pulmonary damage induced by CLP

Rasooli A.¹, Fatemi F.², Mohammadi Malayeri M.R.³, Hajihosseini R.¹, Vaziri A.¹,
Mosavi Z.⁴, Foroutanrad M.¹ and Otadi S.¹

¹ Dept. of Biochemistry, Faculty of Sciences, Payame-e-Noor University, Tehran, I.R. of Iran

² Materials and Nuclear Fuel Research School, Nuclear Science and Technology Research Institute,
Tehran, I.R. of Iran

³ Dept. of Pathobiology, Faculty of Veterinary Medicine, Garmsar Branch, Islamic Azad University,
Garmsar, I.R. of Iran

⁴ Dept. of Physiology, Faculty of Science, Qom Branch, Islamic Azad University, Qom, I.R. of Iran

Abstract

Sepsis is a major cause of morbidity and mortality in patients in the intensive care unit. Despite new supportive treatments and administration of high potent antibiotics, sepsis is overwhelmingly one of the risky factors in patient's life. So, the purpose of this study is to investigate the effects of Deuterium Depleted Water (DDW) and *M. longifolia* essential oils (E.Os) on septic rats induced by CLP (Cecal Ligation and Puncture). Therefore, rats were divided into 7 groups: negative control (Laparotomy), CLP, treatment groups with DDW (15 and 30 ppm), adjuvant with *M. longifolia* E.O (100 mg/kg b.w) and positive control group (indomethacin). Then, 24h after CLP induction, oxidative injury parameters and the expression of COX-2 gene in lung tissue were measured. The data indicated that sepsis induction reduced GSH, FRAP and increased LP, MPO, PGE2 and COX-2 gene but didn't affect GST. Treatments of rats with DDW and E.Os alone and together as well as indomethacin have been effective in increasing the GSH, FRAP and decreasing the LP, MPO, PGE2 and COX-2. Histopathological examinations indicated that sepsis caused lung tissue damage and this damage decreased by DDW and E.O treatment. So sepsis causes oxidative lung tissue damage and the using of deuterium depleted water and *Mentha longifolia* can prevent injuries through modulation the oxidative stress/antioxidant parameters.

Key words: Sepsis, *Mentha longifolia* essential oil, Deuterium Depleted Water, Anti-inflammatory activity, oxidative Stress